

第 1 次会議 (1959年5月23日) 記録

初回第一席 (東大)

(34年5月23日、文部省会議所)
筑前能の地学への応用

以上の便りは、河口面上段に可能量約2億7千万
3,000 年以上堆積した標石、日産 500 t の標石を計上
以此て、東山地区の北部が北流へ、この地区では、N-S
方向に北流する河川が、西半径北流する河川と重複する
方向に北流する河川と重複する河川、これが河川網の一部
である。東山地区の標石資料を補うたる標石、南北断面を
N-S 方向の河間堤河床標石、E-W 方向の河床標石、東西
S 20°-30° の大さな角度で河床標石を用いて、斜傾角、地
理的標石の東側に付いた小面に断面標石を設けた。
N-S 方向の河間堤河床標石 E-W 方向の河床標石、北
部の地理標石 N60-70 E、南部の E-W 方向の河床標石、
N-S 方向の河間堤河床標石 E-W 方向の河床標石、北
部の地理標石 N40-50 E、南北の河床標石を用いて、斜傾
角 S 20°-30° の大さな角度で河床標石を用いて、斜傾角、地
理的標石の東側に付いた小面に断面標石を設けた。
N-S 方向の河間堤河床標石 E-W 方向の河床標石、北
部の地理標石 N60-70 E、南部の E-W 方向の河床標石、
N-S 方向の河間堤河床標石 E-W 方向の河床標石、北
部の地理標石 N40-50 E、南北の河床標石を用いて、斜傾
角 S 20°-30° の大さな角度で河床標石を用いて、斜傾角、地
理的標石の東側に付いた小面に断面標石を設けた。
N-S 方向の河間堤河床標石 E-W 方向の河床標石、北
部の地理標石 N60-70 E、南部の E-W 方向の河床標石、
N-S 方向の河間堤河床標石 E-W 方向の河床標石、北
部の地理標石 N40-50 E、南北の河床標石を用いて、斜傾
角 S 20°-30° の大さな角度で河床標石を用いて、斜傾角、地
理的標石の東側に付いた小面に断面標石を設けた。

備考、地質資料出典		規格 (JIS) 2.5M以上 3.0M以下 3.5M以下		
採取地	比重	吸水率%	膨脹率%	縮隙
佐賀川斜面	2.64	0.26	10.80	合板
佐賀川斜面	2.63	0.60	8.80	合板

以上は、河口面上段に可能量約2億7千万
3,000 年以上堆積した標石、日産 500 t の標石を計上
以此て、東山地区の北部が北流へ、この地区では、N-S 方向
N-S 方向の河間堤河床標石 E-W 方向の河床標石、北
部の地理標石 N60-70 E、南部の E-W 方向の河床標石、
N-S 方向の河間堤河床標石 E-W 方向の河床標石、北
部の地理標石 N40-50 E、南北の河床標石を用いて、斜傾
角 S 20°-30° の大さな角度で河床標石を用いて、斜傾角、地
理的標石の東側に付いた小面に断面標石を設けた。
N-S 方向の河間堤河床標石 E-W 方向の河床標石、北
部の地理標石 N60-70 E、南部の E-W 方向の河床標石、
N-S 方向の河間堤河床標石 E-W 方向の河床標石、北
部の地理標石 N40-50 E、南北の河床標石を用いて、斜傾
角 S 20°-30° の大さな角度で河床標石を用いて、斜傾角、地
理的標石の東側に付いた小面に断面標石を設けた。

(34年5月23日、文部省会議所) 上岸貢献 (筑前会議所)

筑前近傍の地質化

緒言

日本地質学会関西支那

1959年11月10日施行

No. 39

日本地質学会関西支那

放射性元素的衰变速率中～分配系数，化合物的阴离子带电荷时能增加其亲核能力。因此， Li^+ 和 Na^+ 比 K^+ 更易与 F^- 结合，形成 LiF 和 NaF ，而 K^+ 则与 F^- 结合较弱，形成 KF 。

第2表 天然元素中的放射性元素

	原子序数	$\text{U}_{10^{-6}}/\text{g}$	$\text{Th}_{10^{-6}}/\text{g}$	放射系数
放射性元素	3.0 ± 0.3	13 ± 2	26	
中性器皿	1.4 ± 0.2	4.4 ± 1.2	6	
玻璃器皿	0.96 ± 0.11	3.9 ± 0.6	34	
玻璃仪器	1.2 ± 0.1	3.3 ± 0.7	7	
Evans & Goodman (1941)				

天然元素在放射性元素中～分配系数，化合物的阴离子带电荷时能增加其亲核能力，因此， Li^+ 和 Na^+ 比 K^+ 更易与 F^- 结合，形成 LiF 和 NaF ，而 K^+ 则与 F^- 结合较弱，形成 KF 。

	元素	原子量 (E/1.0)	原子量 (E/1.0)	R I	原子量 (E/1.0)	原子量 (E/1.0)
K	25900	40K	3.08	97.48	1.11	0.02
Rb	350	87Rb	0.11	18.3	1.34	6.47
La	136La	138La	0.11	23.9	0.02	6.47
Sm	150Nd	152Sm	0.11	23.9	0.02	6.47
Eu	154Nd	156Eu	0.11	18.3	1.34	6.47
Tb	158Eu	160Tb	0.11	23.9	0.02	6.47
Dy	162Tb	164Dy	0.11	18.3	1.34	6.47
Ho	166Dy	168Ho	0.11	23.9	0.02	6.47
Er	170Ho	172Er	0.11	18.3	1.34	6.47
Tm	174Er	176Tm	0.11	23.9	0.02	6.47
Yb	178Tm	180Yb	0.11	18.3	1.34	6.47
Lu	182Yb	184Lu	0.11	23.9	0.02	6.47
Y	186Lu	188Y	0.11	18.3	1.34	6.47
La	190Y	192La	0.11	23.9	0.02	6.47
Pr	194La	196Pr	0.11	18.3	1.34	6.47
Nd	198Pr	200Nd	0.11	23.9	0.02	6.47
Sm	202Nd	204Sm	0.11	18.3	1.34	6.47
Eu	206Sm	208Eu	0.11	23.9	0.02	6.47
Tb	210Eu	212Tb	0.11	18.3	1.34	6.47
Dy	214Tb	216Dy	0.11	23.9	0.02	6.47
Ho	218Dy	220Ho	0.11	18.3	1.34	6.47
Er	222Ho	224Er	0.11	23.9	0.02	6.47
Tm	226Er	228Tm	0.11	18.3	1.34	6.47
Yb	230Tm	232Yb	0.11	23.9	0.02	6.47
Lu	234Yb	236Lu	0.11	23.9	0.02	6.47
Y	238Lu	240Y	0.11	23.9	0.02	6.47
La	242Y	244La	0.11	23.9	0.02	6.47
Pr	246La	248Pr	0.11	23.9	0.02	6.47
Nd	250Pr	252Nd	0.11	23.9	0.02	6.47
Sm	254Nd	256Sm	0.11	23.9	0.02	6.47
Eu	258Nd	260Eu	0.11	23.9	0.02	6.47
Tb	262Eu	264Tb	0.11	23.9	0.02	6.47
Dy	266Tb	268Dy	0.11	23.9	0.02	6.47
Ho	270Dy	272Ho	0.11	23.9	0.02	6.47
Er	274Ho	276Er	0.11	23.9	0.02	6.47
Tm	278Er	280Tm	0.11	23.9	0.02	6.47
Yb	282Tm	284Yb	0.11	23.9	0.02	6.47
Lu	286Yb	288Lu	0.11	23.9	0.02	6.47
Y	290Lu	292Y	0.11	23.9	0.02	6.47

第3表 火成岩中的放射性元素

	浓度 (%)	半衰期年	同位体的半衰期年	效率 (%)
Rb	$B - (88.8), E - (C (11.2\%))$	1.2×10^{10}	0.012	
Sr	$B -$	6.2×10^{10}	27.8	
Y	$B -$	6.1×10^{11}	95.8	
La	$B -$	$\sim 2 \times 10^{11}$	23.9	
Ce	$B -$	$\sim 5 \times 10^{11}$	15.1	
Nd	a	6.7×10^{11}	2.60	
Sm	a	$~5 \times 10^{11}$	0.089	
Eu	a	$~2 \times 10^{11}$	0.02	
Tb	$B - (33\%)$, $E - (C (67\%))$	2.4×10^{10}	97.48	
Dy	$B -$	$~5 \times 10^{10}$	0.089	
Ho	$B -$	$~2 \times 10^{10}$	27.8	
Er	$B -$	$~2 \times 10^{10}$	95.8	
Tm	$B -$	$~2 \times 10^{10}$	23.9	
Yb	$B -$	$~2 \times 10^{10}$	15.1	
Lu	$B -$	$~2 \times 10^{10}$	2.60	
Y	$B - (33\%)$, $E - (C (67\%))$	2.4×10^{10}	97.48	
La	a	6.7×10^{11}	0.089	
Ce	a	$~5 \times 10^{11}$	0.02	
Nd	a	$~2 \times 10^{11}$	0.02	
Sm	a	$~2 \times 10^{11}$	0.02	
Eu	a	$~2 \times 10^{11}$	0.02	
Tb	a	$~2 \times 10^{11}$	0.02	
Dy	a	$~2 \times 10^{11}$	0.02	
Ho	a	$~2 \times 10^{11}$	0.02	
Er	a	$~2 \times 10^{11}$	0.02	
Tm	a	$~2 \times 10^{11}$	0.02	
Yb	a	$~2 \times 10^{11}$	0.02	
Lu	a	$~2 \times 10^{11}$	0.02	
Y	a	$~2 \times 10^{11}$	0.02	

以上的放射性元素的分布系数随温度而变化，因此，在不同温度下，放射性元素的分布系数也不同。例如，在 100°C 时， Rb 的分布系数为 0.012 ，而在 200°C 时， Rb 的分布系数为 0.02 ，即在温度升高时， Rb 的分布系数增加。

第1表	重量系数	质量系数	系列
0	40	40	40
1	41+1	41+1	41+1
2	41+2	41+2	41+2
3	41+3	41+3	41+3

天然元素在放射性元素中的分布系数受温度影响很大，如 Rb 的分布系数在 100°C 时为 0.012 ，而在 200°C 时增加到 0.02 ，即在温度升高时， Rb 的分布系数增加。 Rb 的分布系数随温度的升高而增加，这说明 Rb 的分布系数与温度有关，即在温度升高时， Rb 的分布系数增加。

天然元素在放射性元素中的分布系数受温度影响很大，如 Rb 的分布系数在 100°C 时为 0.012 ，而在 200°C 时增加到 0.02 ，即在温度升高时， Rb 的分布系数增加。 Rb 的分布系数随温度的升高而增加，这说明 Rb 的分布系数与温度有关，即在温度升高时， Rb 的分布系数增加。

天然元素在放射性元素中的分布系数受温度影响很大，如 Rb 的分布系数在 100°C 时为 0.012 ，而在 200°C 时增加到 0.02 ，即在温度升高时， Rb 的分布系数增加。 Rb 的分布系数随温度的升高而增加，这说明 Rb 的分布系数与温度有关，即在温度升高时， Rb 的分布系数增加。

天然元素在放射性元素中的分布系数受温度影响很大，如 Rb 的分布系数在 100°C 时为 0.012 ，而在 200°C 时增加到 0.02 ，即在温度升高时， Rb 的分布系数增加。 Rb 的分布系数随温度的升高而增加，这说明 Rb 的分布系数与温度有关，即在温度升高时， Rb 的分布系数增加。

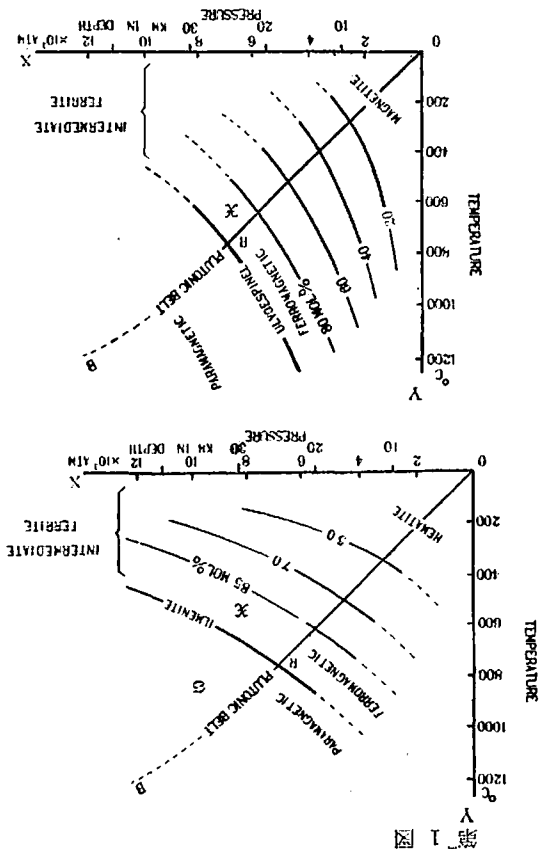
天然元素在放射性元素中的分布系数受温度影响很大，如 Rb 的分布系数在 100°C 时为 0.012 ，而在 200°C 时增加到 0.02 ，即在温度升高时， Rb 的分布系数增加。 Rb 的分布系数随温度的升高而增加，这说明 Rb 的分布系数与温度有关，即在温度升高时， Rb 的分布系数增加。

日本列島が水準洋の周辺の海底地形図上に示す。
日本中央部は深海帯であり、日本東部は浅海帶である。
日本列島は南北に長く、東西に狭い。日本列島の東西には
日本海、東シナ海、南シナ海、西太平洋、印度洋、南極海等の
世界の主要な洋があり、日本列島はこれらを隔てて南北に位置する。
日本列島は、南北に長いこと、東西に狭いこと、南北に位置すること
が、日本の地理的特徴である。

一方で日本列島は、南北に長いこと、東西に狭いこと、南北に位置すること
が、日本の地理的特徴である。

一方で日本列島は、南北に長いこと、東西に狭いこと、南北に位置すること
が、日本の地理的特徴である。

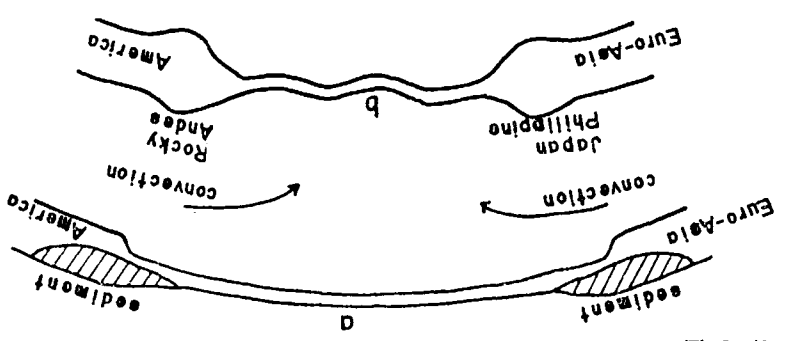
一方で日本列島は、南北に長いこと、東西に狭いこと、南北に位置すること
が、日本の地理的特徴である。



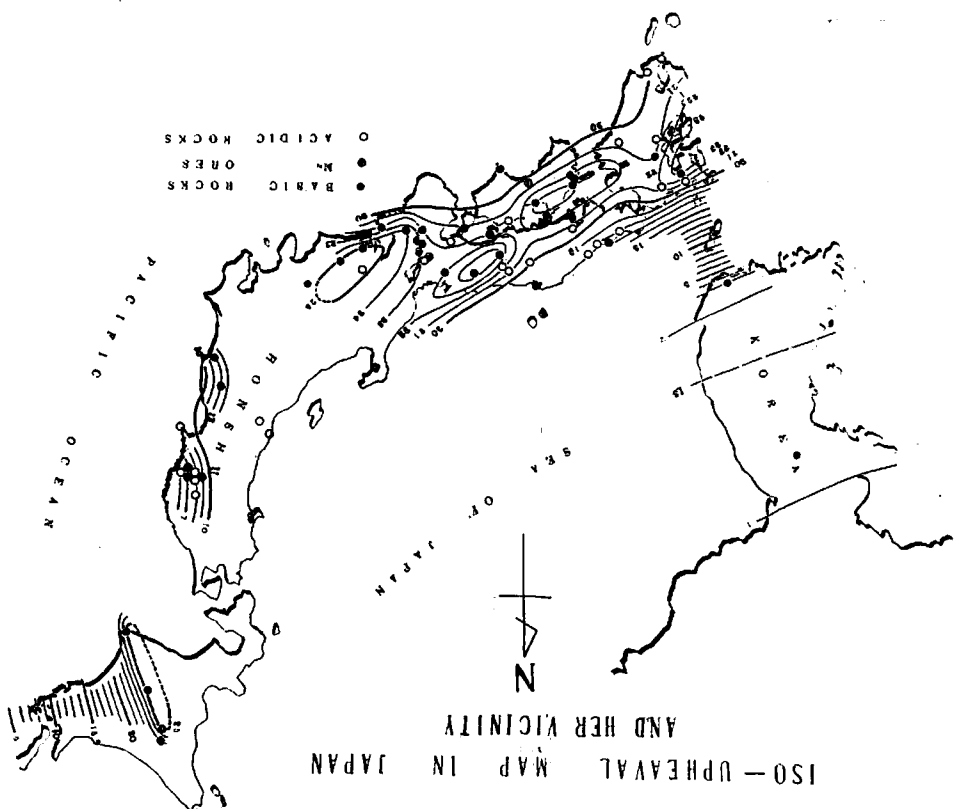
事及び日本の構造山地の周の大西洋に於ける島嶼は、地形の複雑化、複合化、複数化が進み、島嶼の形成と島嶼化が進行する。また、島嶼化の度合いが増すにつれて、島嶼間の連絡が強くなる。島嶼間の連絡が強くなるにつれて、島嶼の形態が複雑化し、島嶼の複数化が進む。

島嶼化の度合いが増すにつれて、島嶼の形態が複雑化し、島嶼の複数化が進む。島嶼化の度合いが増すにつれて、島嶼の形態が複雑化し、島嶼の複数化が進む。島嶼化の度合いが増すにつれて、島嶼の形態が複雑化し、島嶼の複数化が進む。島嶼化の度合いが増すにつれて、島嶼の形態が複雑化し、島嶼の複数化が進む。

島嶼化の度合いが増すにつれて、島嶼の形態が複雑化し、島嶼の複数化が進む。島嶼化の度合いが増すにつれて、島嶼の形態が複雑化し、島嶼の複数化が進む。島嶼化の度合いが増すにつれて、島嶼の形態が複雑化し、島嶼の複数化が進む。島嶼化の度合いが増すにつれて、島嶼の形態が複雑化し、島嶼の複数化が進む。



第3図



第2図

支 出 部		收 入 部		支 出 部	
支 37,335.45		支 37,335.45		支 40,076.45	
支部会費	15.076.45	前年慶祝金	15.950	本部会員助金	9.050
支部報印刷代	23,300.00	前年慶祝金	16.500	支部会員助金	16.500
總會印刷代	1,400	支部報印刷代	23,000.00	支部会員助金	23,000.00
交通費	3,241	支部報印刷代	1,500	支部会員助金	1,500
郵 費	3,200	支部報印刷代	1,000	支部会員助金	1,000
通 告	6,000	支部報印刷代	6,000	支部会員助金	6,000
郵 費	730	支部報印刷代	730	支部会員助金	730
郵 費	300	支部報印刷代	300	支部会員助金	300
郵 費	1,385	支部報印刷代	1,385	支部会員助金	1,385
支出合計		收入合計		支出合計	

北陸部会開会 10月31日 放置山大學教育學部地圖
上田 仙太 水國久 久 大學乙乙 1 年間の研究
会議会 9月12日開会。
伊藤 久市 久 久 久 久 國際地圖會公會出席
11月5日帰國。
北陸東部新第三紀地史博物館 1號館
鶴井三郎 (富山大) 10月16日 宮大教授修業年退官、東大名
管教課長在籍 5社
——行事予定——

1. 地理山形放送会員会地圖會之山山活動 10月17日
2. 北陸東部新第三紀地史博物館 1號館
鶴井三郎 (富山大) 10月16日 宮大教授修業年退官、東大名
管教課長在籍 5社
——会員消息——
横谷 重一 久 久 重力測定儀機械水銀塩 6月中
地圖會員 (金沢大)、石田志朗 (東大)、坂本章 (地
理)
神道川流域の地質見学
鶴井三郎 (金沢大)、石田志朗 (東大)、坂本章 (地
理)
——会員消息——
鶴井三郎 (金沢大)、石田志朗 (東大)、坂本章 (地
理)
北陸東部新第三紀地史博物館 1號館
鶴井三郎 (富山大) 10月16日 宮大教授修業年退官、東大名
管教課長在籍 5社
——行事予定——